

# 用 CMOS 门电路设计振荡器

中国科学院原子能研究所 高维祥

近年来 CMOS 电路有了飞速的发展。由于它具有噪声容限高、静态功耗极低、输入阻抗极高、电源电压范围广等一系列优点，从而获得了广泛的应用。用 CMOS 门电路设计的振荡器不但种类多，而且各具特色。下面是我们应用 CMOS 门电路设计的几种振荡器。

## 1. 自激多谐振荡器

用门电路设计多谐振荡器最简单的办法是用奇数个门首尾相连。但这种振荡器精度低，振荡频率也不能随心所欲的设计，它只是与奇数个门的延迟时间有关。阻容定时的多谐振荡器结构简单，定时精度高，振荡频率可以自由进行设计。图 1(a) 为阻容定时的多谐振荡器电路图， $G_A$ 、 $G_B$  为 CMOS 反相器， $R_t$ 、 $C_t$  为定时元件， $R_s$  为串联电阻。图 1(b) 是其各点的波形图，工作过程可用图 2 所示电路来说明。当接通电源后，③点电位上升，④点电位亦上升。当④点电位上升到  $G_A$  门的  $V_{TtA}$  电平时， $G_A$  被打开，②点跳变到

低电平，③点上升到  $V_{DD}$  电平。接着  $C_t$  通过  $G_A$  的“P”管， $R_t$ 、 $C_t$ 、 $G_B$  的“n”管放电，在放电的过程，④点电位按  $R_t \cdot C_t$  的时间常数下降，当④点电位下降到  $V_{TtA}$  电平时， $G_A$  门被关闭，②点跳变到接近  $V_{DD}$  的电平，③点跳变到接近 0V、④点电位跳变到  $(V_{TtA} - V_{DD})$  的电平上。接着  $C_t$  通过  $G_B$  的“p”管、 $C_t$ 、 $R_t$ 、 $G_A$  的“n”管充电。就这样振荡下去。在③点和②点得到互补的输出波形。

可以用数学方法，根据  $V(t) = V(\infty) + [V(0) - V(\infty)]e^{-\frac{t}{T}}$  的公式推导出输出波形的占空时间的计算公式

$$t_1 = R_t \cdot C_t \ln[(V_{DD} + V_{TtA}) / V_{TtA}] \quad (1)$$

$$t_2 = R_t \cdot C_t \ln[(2V_{DD} - V_{TtA}) / (V_{DD} - V_{TtA})] \quad (2)$$

设  $V_{TtA} = \frac{1}{2}V_{DD}$

$$T = t_1 + t_2 \approx 2.2R_t C_t \quad (3)$$

从上面的公式可以看出，振荡器的振荡周期只与定时元件值有关，选取不同的电阻电容即可以设计出不同振荡频率的振荡器。

图 1(a) 中的  $R_s$  电阻可以不要，这时上面推导的三个公式应变成：

$$t_1 = R_t C_t \ln(V_{DD} / V_{TtA}) \quad (4)$$

$$t_2 = R_t \cdot C_t \cdot \ln[V_{DD} / (V_{DD} - V_{TtA})] \quad (5)$$

$$T \approx 1.4R_t \cdot C_t \quad (6)$$

加入  $R_s$  电阻可以改善振荡器的性能。首先，可以使振荡周期受电源电压的变化影响减小。表 1 列出了三种电路在不同的电源电压下，振荡周期的变化。另外，公式(3)、(6)是在假设  $V_{TtA} = 1/2V_{DD}$  的情况下得到的，实际上 CMOS 门的阈电压  $V_{Tt}$  是不相同的，它的值可以在  $V_{DD}/3 \sim 2V_{DD}/3$  之间变化。由于  $V_{Tt}$  的变化，给振荡周期带来的变化是不小的，加入  $R_s$  之后可以使这个变化减小。表 2 给出了加与不加  $R_s$  且当阈电压的变化为  $\pm 33\%V_{DD}$  时，对振荡周期的不同影响。

从(1)、(2)、(4)、(5)式可以看出，阈电压  $V_{Tt}$  不同，对输出脉冲的占空比影响也是很大的。为了说明这个问题，把图 1(b) 的有关波形重画于图 3 中。当  $V_{Tt} = 2V_{DD}/3$  时，输出波形如③中的实线所示。如

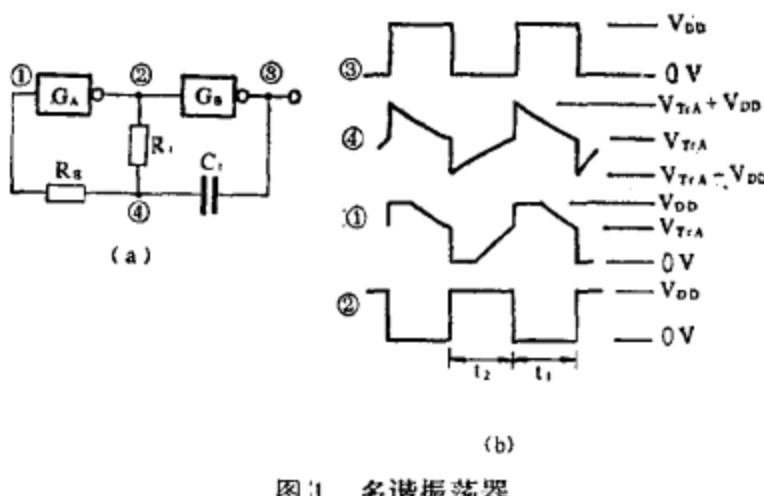


图 1 多谐振荡器

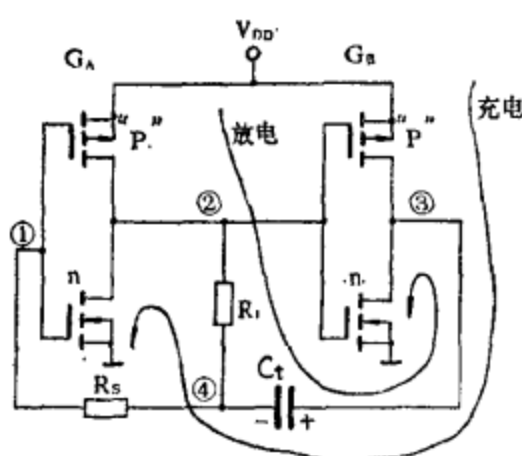


图 2 振荡器的充放电原理图

表1 有、无  $R_s$  时振荡周期随电源电压的变化

电 路	$V_{Tr}$ ( $V_{DD} = 10V$ )	不接 $R_s$ 时 周 期 (ms)				接 $R_s$ 时 周 期 (ms)			
		$V_{DD} = 7V$	10V	14V	%	$V_{DD} = 7V$	10V	14V	%
C033A	4.9V	0.67	0.63	0.62	7%	0.98	0.97	0.965	1%
C035A	5.4V	0.65	0.61	0.58	7%	0.915	0.91	0.91	0.5%
C036A	4.4V	0.64	0.61	0.59	5%	0.885	0.88	0.88	0.7%

注:  $C_s = 1000PF$ ,  $R_t = 390K\Omega$ ,  $R_s = 910K\Omega$ 表2 有、无  $R_s$  时 阀 电 压 对 周 期 影 响

阀 电 压 $V_{Tr}$		$V_{DD}/2$	$V_{DD}/3$	$2V_{DD}/3$	误 差
周 期	有 $R_s$	2.2τ	2.3τ	2.3τ	4.5%
	无 $S_s$	1.4τ	1.5τ	1.5τ	8%

注:  $\tau = R_t \cdot C_t$ 

$V_{Tr} = V_{DD}/3$  时, 输出波形占空比如图3中虚线所示。这个问题给设计者带来很大的麻烦。

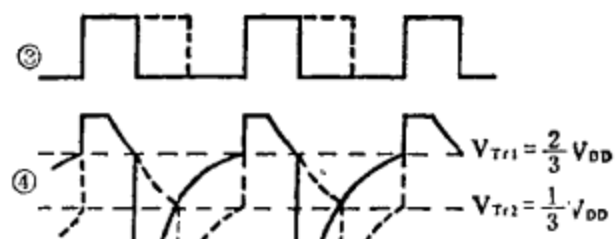


图3 阈电压对输出波形占空比的影响

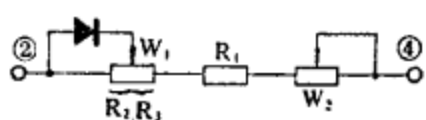


图4 定时电阻网络

图1(a)中的定时电阻用图4的网络代替, 调节电位器  $W_1$  则可以补偿由于  $V_{Tr}$  的不同

对占空比的影响。这实质上是改变充放电时间常数。如图4所示, 充电电阻为  $W_1 + R_1 + W_2$ , 而放电电阻则为  $R_3 + R_1 + W_2$ 。调节电位器  $W_2$  可以补偿由于调节  $W_1$  而引起的频率变化。电阻  $R_1$  是必不可少的, 当  $W_1, W_2$  一旦调到短路时,  $R_1$  可限制  $G_A$  流出的电流值, 使  $G_A$  免遭损坏。 $R_1$  一般大于  $1K\Omega$ 。

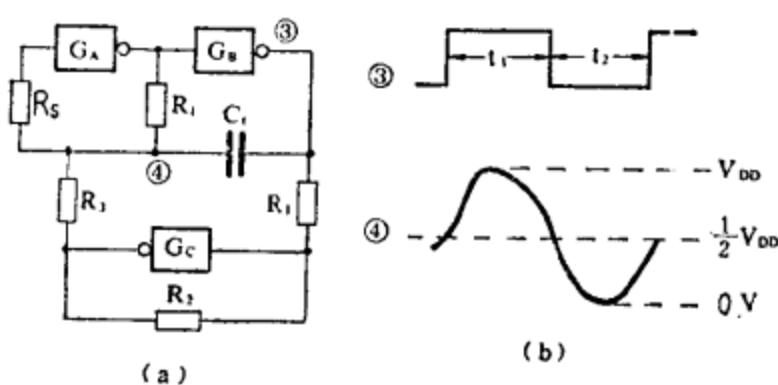


图 5

为了得到输出占空比 1:1 的波形而不受阈值电压

的影响, 可采用图5(a)所示电路, 它是在图1(a)的电路基础上增加一个反相器  $G_c$  和三个电阻。图5(b)是其波形, 通常  $t_1 = t_2$ 。反相器  $G_c$  与  $R_1, R_2$  构成一个放大器, 它对  $G_A$  形成第二条反馈通路, 这个负反馈补偿了由于  $G_A$  阈电压的变化引起对占空比的影响。如  $G_A, G_B, G_c$  是在同一块封装中的反相器, 则它们的阈电压就基本相等, 选取  $R_1 = R_2, R_2 = R_3$ , 则由阈电压不同引起的占空比变化就基本可以消除, 从而得到占空比为 1:1 的输出波形。为了防止  $G_c$  输出饱和,  $G_c$  的增益要进行适当调节, 调节结果  $G_c$  象一个放大倍数较低的放大器。如  $G_A, G_B, G_c$  为 C033A 中的三个反相器, 实验证明,  $G_c$  的放大倍数调到 0.5 左右为宜。需要说明的是这时的振荡周期计算公式为:  $T = R_1 C_1$ 。以 C033A 为反相器, 取  $R_1 = R_2 = 68K\Omega$ ,  $R_2 = R_3 = 30K\Omega$ ,  $C_1 = 270PF$ , 实测波形如图5(b)所示,  $t_1 = t_2 = 9.5\mu s$ 。而理论计算值  $t_1 = t_2 = 9.2\mu s$ , 可见实测值与理论值是很接近的。

## 2. 受控振荡器

图1(a)电路的  $G_A$  如用与非门代替, 象图6表示的那样, 则可构成受控振荡器。当控制端为高电平时, 振荡器起振。当控制端为低电平时振荡器停振。这种振荡器使用起来非常方便。

## 3. 石英晶体振荡器

用 CMOS 门电路和石英晶体可以方便地构成石英晶体振荡器。图7为它的方框图。它由放大器和反馈网络两部分构成。为了维持振荡, 电路必须满足  $K\beta > 1$  和闭环相移为  $360^\circ$ 。放大器部分提供必要的放大倍数和  $180^\circ$  相移, 反馈网络提供另外的  $180^\circ$  相移和  $\beta$  倍的衰减。

用 CMOS 门电路构成放大器, 由于它的输入阻抗极高, 所以

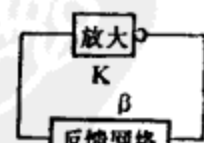


图7 石英振荡器框图

设计比较容易，只要在反相器输入输出端加接一个反馈电阻  $R_f$  即可，如图8(a)所示。图8(b)给出了输入输出转移特性曲线。过0点做OM直线，与转移特性

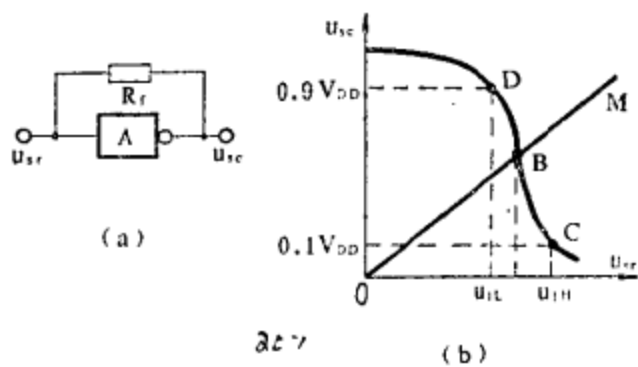


图8 CMOS放大器

曲线交B点，B点即为放大器的静态工作点。即是反相器被  $R_f$  偏置在  $V_{ss} = V_{cc}$  的静态工作点上。曲线上可看出DBC段基本上是线性区。反馈电阻  $R_f$  的选值要综合考虑，太大了就会使放大器偏置不稳，甚至不能正常工作。太小了会使反馈网络的负担加重。以C033A为例， $R_f$  通常在  $10\sim500\text{M}\Omega$  间选取。

在设计反馈网络时，必须对晶体本身作分析，在并联谐振情况下，晶体可以用一个电阻和一个电抗来表示，这里分别用  $R_e$  和  $X_{CL}$  表示。图9(a)为所设计的电路图，图9(b)为其等效电路。输入端串联电阻  $R$  不但可以降低振荡器的功耗，防止三次谐波振荡，而

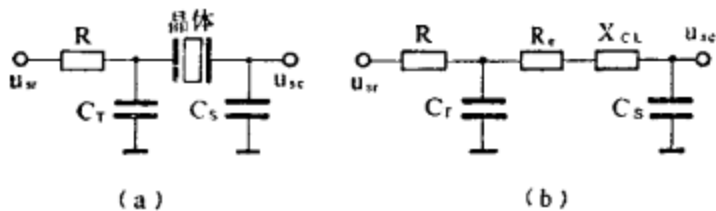


图9 反馈网络

且由于它提高了反相器的输出阻抗而限制了流入晶体的电流，这样可以避免对晶体的过激励而造成晶体的老化和频率不稳的现象。 $C_T$ 、 $C_s$  与晶体共同构成  $\pi$ 型网络，完成对振荡频率的控制并提供必要的  $180^\circ$  相移。

由于CMOS电路本身存在时间延迟，所以放大器的相移往往不正好为  $180^\circ$ ，其相移差  $\Delta\phi$  可由下式计算：

(上接第18页)

### 主要参考文献

- [1] Proceedings of the 1st sensor Symposium(Japan)1981
- [2] 第2回《センサの基础と应用》シンポジウム讲演予稿集1982.5
- [3] 小长井诚高桥清“センサ・エレクトロニクス”，“エレクトロニクス1980, Vol: 25 NO: 1 p35~p46, No: 2 p147~p164
- [4] 丰田实“最近のセンサの动向”システムと制御,

$$\Delta\phi = 2\pi f \cdot t_{pd}$$

其中  $t_{pd}$  为CMOS电路的传输延迟。

如  $t_{pd}=200\text{ns}$ ，晶体谐振频率为  $100\text{KHz}$ ，则  $\Delta f=7^\circ$ 。这个相移差，就要由反馈网络给以补偿。通过选取不同的  $C_s$ 、 $C_T$  和  $R$  的值来达到补偿的目的。经过一系列的数学推导可以求得图9(a)中  $C_T$ 、 $C_s$ 、 $R$  的计算公式：

$$C_s = 4C_L / (3 + 5f \cdot C_L \cdot R_e)$$

$$C_T = 4C_L / (1 - 5f \cdot C_L \cdot R_e)$$

$$R = (1 + 0.56fC_L \cdot R_e)(1 - 5fC_L \cdot R_e) / (210f^2 \cdot C_L^2 \cdot R_e)$$

其中：  $C_L$  为晶体负载电容，单位为  $\text{PF}$ ；

$R_e$  为晶体的等效电阻，单位为  $\Omega$ ；

$f$  为晶体标称频率，单位为  $\text{KHz}$ 。

例如一个谐振频率为  $100\text{KHz}$ ， $R_e=8\text{K}\Omega$ ， $C_L=30\text{PF}$  的石英晶体，经计算可得  $C_s=40\text{PF}$ ， $C_T=138\text{PF}$ ， $R=60\text{K}\Omega$ 。

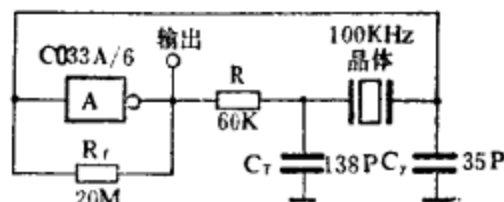


图10 振荡器完整电路图

一个石英晶体振荡器的完整电路图如图10所示。

其中  $C_Y = C_s - C_0$ ， $C_0$  为反相器的输入电容，通常  $C_0=5\text{PF}$ ，则  $C_Y=35\text{PF}$ 。

实践证明，依我们所叙述的设计原则设计出的几种振荡器，结构简单，可靠性和稳定性都达到了我们的预期目的。

### 参考文献

- [1] R. C. A. COS/MOS integrated circuits Manual 1971年 p138
- [2] 荆震 高稳定晶体振荡器 国防工业出版社 1975年 p18~51
- [3] Olszewski CMOS oscillator has 50% duty cycle Electronics. march 1 1978年 p118
- [4] 特集—CMOS IC应用の技术 トランジスタ技术 11卷 2月号 1974年
- 1980, Vol 22, No9 p567~p576
- [5] 丰田实“センシング”材料电子材料特集 1981.6 p119~p126
- [6] W. G. Wolber and K. D. Wise “Sensor Development in the Micro Computer Age” IEEE Trans, 1979, Vol ED-26 NO: 12 p1864~p1874
- [7] Wen H. Ko, Min-Hang Bao, Yen-Ding Hong “A High-Sensitivity Integrated-Circuit Capacitive pressure transducer” IEEE Trans 1982 Vol ED-29 NO: 1 p48~p56